

同軸型マルクスゼネレーターによる相対論的大強度電子ビームの発生

名大プラズマ研 名大工^A 久保田雄輔、高木憲一^A、宮原昭

REB発生用のビーム・ソースとして一般に Marx - Generator の出力をブルームラインのよう、同軸ケーブルにチャージ・アップアタインピーダンスを下げる。かつ立ち上がりの早いパルスを得る形式が用いられているが、この場合、ブルーム・ラインの出力電圧(V_B)は。

$$V_B = \frac{C_M}{C_M + C_B} V_0$$

C_M : Marx-G. の合成容量

C_B : ブルーム・ラインの合成容量。

V_0 : Marx-G. の出力電圧。

となり。 C_B と C_M によって、capacitive devide されてしまう。我々は、これをさけるため、同軸タイプにした Marx G. を各種作製し、非常に立ち上がりの早い(~10 ns)パルスを得る事に成功した。特に、一番新しく作製した、電子ビームの collective 分効果をみるために、電流を多くとした目的の、720 kV Marx G. により、フラット・トップをもつた、6 ns の立ち上がりの電圧波形(17%負荷で)を得、その内部インピーダンスも低く見える事が出来た(11回)。ここに、既存の、300 kV, 600 kV, 2 MT Marx G. とあわせて、その特性を比較検討し、さらに、720 kV Marx G. により、20 kA, 450 keV の電子ビームが得られた事を報告する。

データ表1は、300 kV, 600 kV, 720 kV および、2 MT の Marx G. についてその特性を比較したものである。この表において、内部インピーダンス、内部インダクタンスは、簡単な LCR 集中定数回路モデルにもとづいて、Load 抵抗に対する出力電圧波形からだしたものである。この表において特徴的な事は、720 kV Marx G. は、そのサイズのわりには、stored energy が大きく、内部インピーダンスが小さい事。又、2 MT, 720 kV Marx G. に共通して、他の2つのマルクスに比べて、jitter time が小さいという事である。内部インピーダンスの要因としては、色々とある。一概にはいえないが、いくつかの同軸型のマルクスを作りにつれて構造的に同軸配置の技術が進んだ事、Gap 間を短かくした事等により、マルクスの特性インピーダンス($\sqrt{\frac{L}{C}}$)を小さくできようになつたためと考えられる。又、jitter time が小さくなった原因是、720 kV, 2 MT Marx G. の場合、多段トリガーオ方式を採用した事によるものであろう。今後さらに、内部インピーダンスをさげるためには、一段あたり、複数 Gap をヒリ入れる事、完全同軸配置にする事、充電電圧をあげて Gap 数をへらす事等が考えられ、又、jitter time を小さくするためには、多段トリガーオ方式を徹底する事(現在2段)レーザー・トリガーオ方式の採用等を行なえばよいが、技術的に、克服すべき多くの問題を含んでいる。

Fig. 1は、Load 抵抗に対する Marx G. の出力電圧のピーク値のグラフである。この場合。

$$V_o = V_{oo} - \frac{V_0}{R_L} Z_{in}$$

V_{oo} : 積荷の場合は出力電圧

V_0 : Marx G. の出力電圧。

R_L : Load 抵抗

Z_{in} : Marx G. の内部インピーダンス

という様に、簡単なモデルで、Marx G. の出力電圧をよく説明出来る事がわかる。

Fig. 2 に 1st, 600 kV, 720 kV, 2 MV の Marx G. の Load 端流 17 A の場合の、出力電圧波形である。我々の、同軸型の Marx G. の出力電圧の立ち上がり時間は、10 ns 前後で、非常に早い事がわかる。この場合、内部インピーダンスは、それぞれの場合で異なるため、簡単には、比較出来ないが、720 kV, Marx G. の場合、6 ns という、さらに早い立ち上がり時間も示している。立ち上がり時間の問題は、内部インピーダンスのそれとも密接に関連してくるのが、同軸配置の徹底、Gap 間隔を極端に大きくし、Gap 数をへらす事、多段トリガーオ方式等の採用によって、さらに早い立ち上がりのパルスを得る事が期待される。

600 kV, 2 MV Marx G. とともに、その出力電圧波形は、LCR 集中定数回路モデルによつて、比較的よくシミュレーション出きるのだが、720 kV Marx G. の場合、Fig. 3 に示すように、出力電圧の立ち上がり、立ち下がりについては、そのモデルで、傾向が、よく一致しているが、フラット・トップのある事により、前者ほどうまくは、シミュレーション出きない。この原因是、特性インピーダンス ($\sqrt{L/C}$) と、内部インピーダンスの固定値を取る場合、既に値を示してある事、つまりは、同軸配置の徹底により、集中定数回路のような簡単なモデルではもう追従出来なくて、より分布定数回路モデルに近くなっているのではなかかと考えているが、直ちに結果、解決せねばならない課題である。

最後に、720 kV Marx G. を使って cold emission cathode で、電子ビームを出した時の出力電圧、ダイオード電流、ダイオード・インピーダンス、および、ファラデーカップ電流の時間的な変化の様子を Fig. 4 に示す。この場合、我々は、最高エネルギー 450 keV、最高ビーム電流 20 kA のビームを得る事が出来た。Faraday cup 電流と、ダイオード電流との関係の大きい原因もまだよくわからっていないが、これも早急に解決を要する問題である。なお、ダイオード・インピーダンスの時間的变化のようすは、我々のダイオードの場合、Child-Langmuir の式によつて、よく説明される事がわかっている。

TABLE. 1.
COAXIAL MARX GENERATOR

	300 kV	600 kV	720 kV	2000 kV
CHARGING VOLTAGE	30 kV	60 kV	60 kV	± 60 kV
NUMBER OF THE STAGE	10	10	12	17
CONDENCER	Ceramic con. 30 kV, 2000 PF	=	=	=
NUMBER OF THE CON.	60	160	624	990
CHARGING RESISTOR	100 k Ω	10 k Ω	10 k Ω	INDUCTOR $10 \mu\text{H}$
TOTAL CAPACITANCE	1200 PF	800 PF	2200 PF	450 PF
INTERNAL IMPEDANCE	50 Ω	39 Ω	11 Ω	25 Ω
JITTER	40 ns	50 ns	10 ns	3 ns
DIMENSIONS	$40\text{cm}^\phi \times 170\text{cm}$	30×150	40×170	60×300
STORED ENERGY	54 J	144 J	560 J	900 J
INTERNAL INDUCTANCE	300 nH	100 nH	150 nH	200 nH

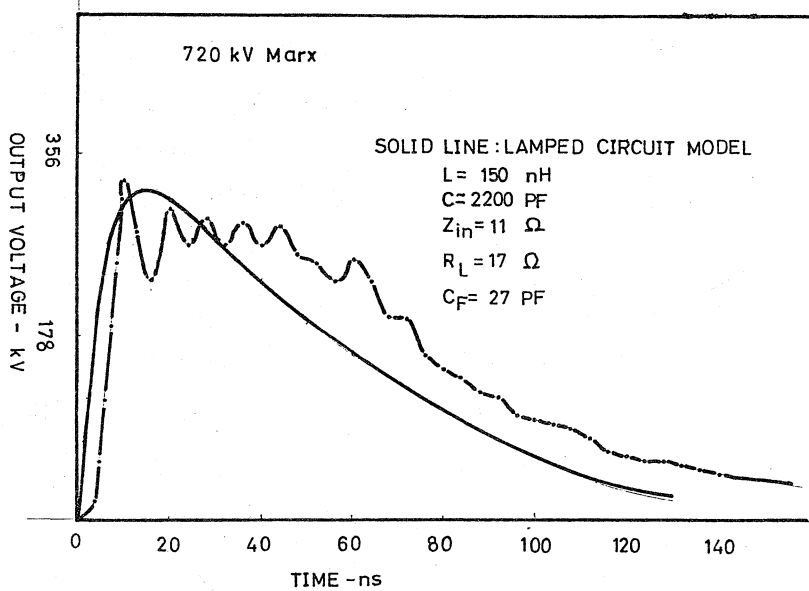
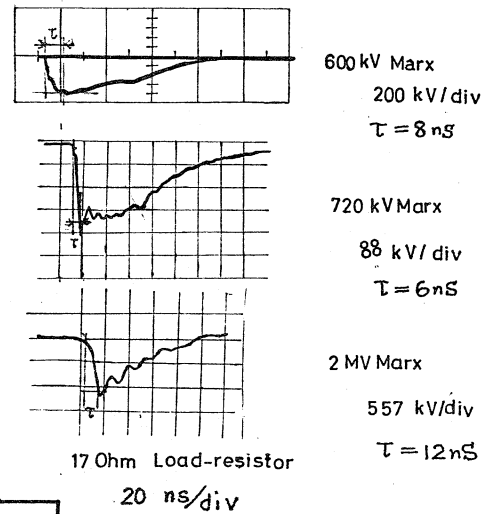
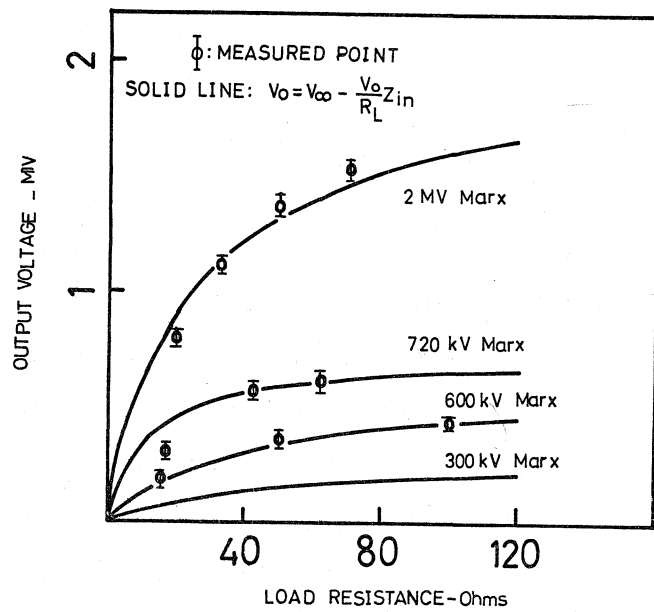


Fig. 3 ↑

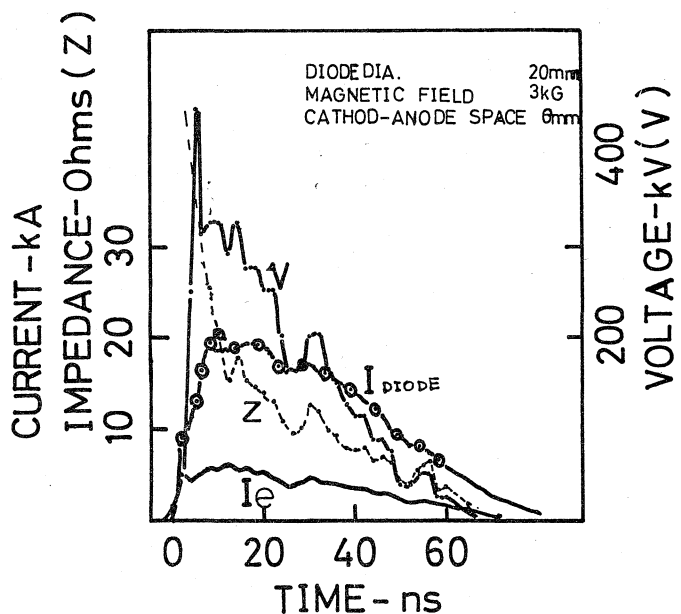


Fig. 4. ↑